

# 不規則な波浪による海中構造物の応答と外力の算定

東京大学工学部 奥村敏恵  
" 西岡 隆

## 1. 概説

地球の表面積の約7割を占める海洋と人類の発展のために開発しようと考へる方には比較的新らしい。次第に陸地が狭隘化し、陸上での資源が潤ぎついに不足に陥り、膨大なエネルギー、生物資源を育む、広大な空間をもつ海洋へ人類の目が向けられはじめたのはごく最近のことである。土木の分野における海洋開発は、エネルギー資源開発のための埋設施設や、数十万トン級のタンカーのための海上シーバース、あるいは海上空港や海中公園など枚挙にいとまがない。

ここでは主にこれら海中構造物を設計する上で重要な問題の一つである波浪による海中構造物の応答が構造物の特性によってどのように変化するかを検討した。従来行われてきた二種類の研究はいくつかの例外を除いて<sup>(1,2)</sup>、波浪によつて構造物が変形しないものと考え、構造物の特性如何にかかわらず、構造物の波力を算定するものが詰んである。構造物が波力によつて変形するか否か、波力や波圧の算定は本来応答系である構造物の変位に左右され、一義的に決定されないのである。これは波力や波圧が波と構造物の相互作用の結果として生ずる以上、構造物の特性が異なれば波力や波圧も変化するからである。

そこで本研究では数種の海中構造物を想定し、波浪によるそれら構造物の応答を算定することにより、構造物の特性が波力や波圧に与える影響を検討して、適切な構造物の剛性、構造形式を調べた。

## 2. 波力と波圧

一般に海中構造物に作用する波力は、大別して水面の上下によつて水中の圧力が変化することによる重複波圧、水粒子の運動が構造物の周りで部分的に止められることによる生ずる波力、碎波によつて生ずる衝撃波力、橋脚の下面に働く衝撃圧力に分類される。

海中構造物が常に受けける波力は、主に碎波による波力であると考えられる。海中構造物に多く使用される円柱を例にとって、円柱の周りを流れし水粒子は部分的には衝突し、反射するものもあるが、円柱に作用する波力の詰んどいは円柱の存在によつて円柱のまわりの流線が止められることがよくあると考えられている。この流線の変化によつて2種類の波力が発生する。オーフ波力は渦の領域の円柱の背後に発生し、それが抵抗力となるて作用することによるものと、オフの波力は流線が変形し、流れが加速されたり減速されたりするときによつて円柱の周りの水粒子の速度ベクトルが変化し、その結果発生する質量力である<sup>(3)</sup>。これらの波力を式の形で表現すると、円柱の単位長さあたりに作用する波力は

$$F = C_D \times \frac{\rho D}{2} \dot{X} |\dot{X}| + C_M \times \frac{\rho \pi D^2}{4} \ddot{X} \quad (1)$$

である。 (1)式は Morison 等によつて与えられた式である<sup>(4)</sup>。

ここで  $\dot{X}$  は構造物と乱された水粒子との相対変位の鉛直法線方向成分で、  $D$  は断面直径、  $\rho$  は水

の単位体積重量,  $C_D$ ,  $C_M$ は各々抗力係数, 質量係数である。 $C_D$ については円柱の形状のほかにも, レイノルズ数に依る。現地観測や室内実験の結果によれば,  $C_D$ の値は0.1~6.0,  $C_M$ の値は1.3~2.0の範囲にあって, かならずしも一定の値では表わされない。<sup>(3)</sup> しかしながら実際の設計では抗力係数は円柱の形状や表面粗度の影響を考慮して,  $C_D=1.0\sim1.4$  とし, 質量係数はオーテンシャル理論から求められる  $C_M=2.0$  を用いているのが現状である。隣接部材の影響による波力の増減については, 直柱の間隔が2.5D以上の場合には隣接部材にF3  $C_D$ が増加は無視でき, 前方に直柱による遮蔽効果については中心距離が4Dとすると  $C_D$ を10%程度減少させる程度で, 8Dでは無視できるものとされている。<sup>(5)</sup> 海中にもうけられた構造物では部材の端手や水平方向の部材などによつて, その形状が複雑であるから, かならずしも前記の式で波力を十分正確に算定することは考えられないが, 本研究では一般的に波力と構造物の相互作用を検討することに主眼を置いていたため, これらの影響は無視した。

### 3. 波浪スペクトル分布と水粒子の速度の分布

海中構造物を設計する際の問題点は  
どうするか波や襲来するか予測が困難  
なことで, これは風荷重や地震力など  
と同様に自然力を設計外力とする場合  
の共通の問題である。不規則波の取り扱い方  
は有義波高を用いることであるが, 構  
造物の動的特性を考慮する場合には  
かならずしも適切ではない。これに対  
して, 最近の不規則波の取り扱い方は  
海の表面の形状を確率統計的に解析す  
る方法である。海面の実際の形状は規則性を欠いているが, 最近の確率過程の進歩によつて, 海の波を時系列と見ると場合, ガウス過程によつて近似されることが明らかとなってきた。これら確率過程には海の波の研究でPiersonやNeumannをはじめ多くの研究者によって行われてき  
ている。図-1は米国で行われた航空写真, 波浪測定柱による大がかりな研究の結果得られた波浪のスペクトルの一例で, この研究で波浪の入力スペクトル分布として用いた。<sup>(6)</sup>

波浪の形状が明らかになると, 次に水深方向の水粒子の運動を求められる。波浪の形状を簡単に正弦波で近似すると, 任意の水深 $y$ における水粒子の水平方向の変位は, 銛直方向の変位はAiry<sup>(3)</sup>によれば, それが以下のようにえられる。

$$U = \frac{H}{2} \frac{\cosh k(y+h)}{\sinh kh} \cos(kx - \sigma t) \quad (2)$$

$$V = \frac{H}{2} \frac{\sinh k(y+h)}{\sinh kh} \sin(kx - \sigma t) \quad (3)$$

$T=T/L$ ,  $\sigma^2=gk\tanh kh$ ,  $k=2\pi/L$ ,  $L=8T^2/2\pi \times \tanh 2\pi h/L$ , すなはち  $H$ ,  $L$ ,  $T$  はそれぞれ波高, 波長, 周期を表わし,  $x$  はその地盤の水深を表わしている。

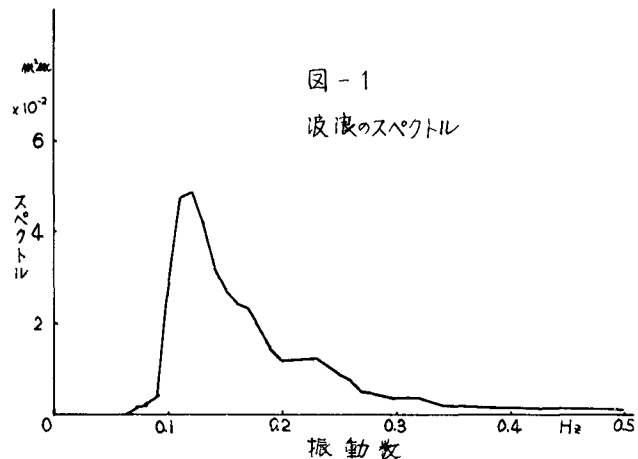


図-1  
波浪のスペクトル

碎波または碎波に近い場合には、(2), (3)式のよろ簡単な式で近似ではよいが、本研究では構造物の設置される水深が深いものとし、常時作用する波による波と構造物の相互作用を検討したため、(2), (3)式を用いることにした。

#### 4. 計算に用いた海中構造物の形状とその特性

図-2は計算に用いた海中構造物の形状である。いずれも海底からの高さは105mとし、海底から平均海面までの高さは90mとした。 $400t$ の重量をもつプラットフォームを直接支える4本の円柱は、同じ波力をうけるように直径はいずれの形式とも $\phi 2.8m$ とし、水平部材、斜材、円柱の直径は $\phi 1.2m$ とした。プラットフォームは剛性もとし、海底で円柱は固定されないものと仮定している。形式1、形式3はラーメン構造であるが、形式2では水平部材、斜材はセン結合されている。各構造形式の3次までの固有振動数は表-1に示すようである。振動数の計算では、応付加質量を無視し、水粒子による質量力、抗力を考慮しない値を示した。振動モードについて各形式とともに3次までモードは同じ傾向を示すので、形式2についての図-3に示した。また4次以降のモードについて各構造形式に応じた振動モードが異なり、図-3に示した。固有振動数、振動モードの計算では構造を多質点系に近づかし、マトリックス表示を用いてその運動方程式を表わすと以下のようになる。

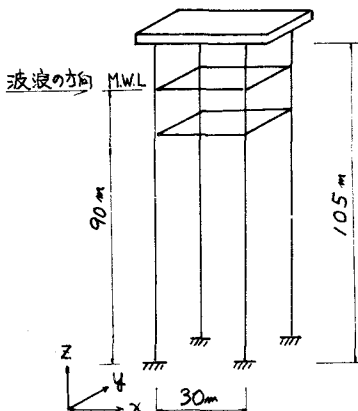
$$[M]\ddot{U} + [C]\dot{U} + [K]U = F \quad (4)$$

ここで $[M]$ ,  $[C]$ ,  $[K]$ はそれぞれ質量マトリックス、減衰マトリックス、剛性マトリックスで $U$ は構造の変位を示すベクトルである。また外力ベクトル $F$ は(4)式で与えられるものであるが、水粒子の変位ベクトルを $V$ とすれば

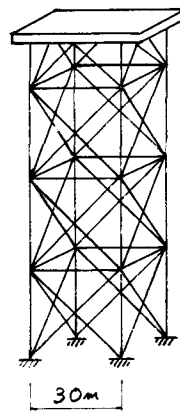
$$X = V - U$$

となる。これらの関係から式(4)を変形すれば

形式1



形式2



形式3

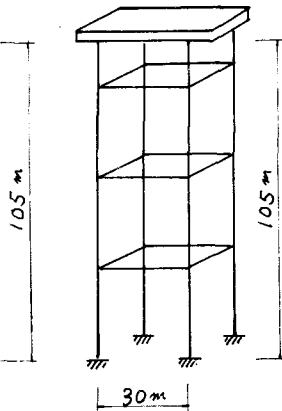


図-2 構造形式

$$[M]\ddot{X} + [C]\dot{X} + [\bar{C}_D]\dot{X}\dot{X} + [K]X = P(x,t) \quad (5)$$

$$\text{ただし } P(x,t) = [M]\ddot{V} + [C]\dot{V} + [K]V \quad (6)$$

が与えられる。ここで  $[M]$  は Morison の公式で与えられる付加質量と構造物の質量を加えた合せた質量マトリックスで、第3項  $[\bar{C}_D]$  は同じく水粒子の抵抗力による減衰マトリックスを示している。

式(5)において第3項の減衰項があるため、問題の取り扱いが困難になる。一般に不規則な外力がガウス過程であれば、線形な系では応答もガウス過程であるが、非線形な要素が含まれると、出力はもはやガウス過程ではない。しかしこの場合においても

$$R_{XX}(t) = E[X(t) \overline{X(t+T)}] \quad (7)$$

で与えられた自己相関関数が求められ、かつスペクトルか相関関数の Fourier 変換であるという意義の定義に従うとすれば、構造物の応答をスペクトルで表示することが可能になる。 $\gamma=2$  本研究では振動法を用いて、式(5)を近似計算し、構造の特性が波力に与える影響を検討した。

最初に式(5)を第3項の非線形減衰項を除いた式の解を第1次近似  $X_0$  とし、その応答スペクトル  $S_{XX_0}(w)$ 、周波数伝達函数  $H_{XX_0}(w)$  を求める。変位  $X$  の第2近似  $X_1$  とすれば、 $X_1$  は

$$[M]\ddot{X}_1 + [C]\dot{X}_1 + [K]X_1 = P - [\bar{C}_D]\dot{X}_0\dot{X}_0 \quad (8)$$

$$\therefore X_1 = \int_{-\infty}^{\infty} \{ R_{XX_0}(t-T) \} [P(t) - [\bar{C}_D]\dot{X}_0\dot{X}_0] dt$$

$$= X_0 - X_1'$$

ただし

$$X_1' = \int_{-\infty}^{\infty} \{ R_{XX_0}(t-T) \} [\bar{C}_D]\dot{X}_0\dot{X}_0 dt$$

で与えられる。

$$\begin{aligned} R_{XX_1} &= E[\{ X_0(t) - X_1(t) \} \times \\ &\quad \{ X_0(t+T) - X_1(t+T) \}] \\ &= E[X_0(t) \cdot X_0(t+T)] \\ &\quad - 2R_{eI}[E[X_0(t) \cdot X_1(t+T)]] \\ &\quad + E[X_1(t) \cdot X_1(t+T)] \end{aligned} \quad (8)$$

したがって、第1次近似のスペクトル  $S_{XX_0}(w)$  は

$$S_{XX_0}(w) = S_{X_0X_0}(w)$$

$$\begin{aligned} &- \frac{1}{2\pi} \int_{-\infty}^{\infty} e^{-j\omega t} \cdot 2R_{eI}[E[X_0(t) \cdot X_1(t+T)]] dt \\ &+ \frac{1}{2\pi} \int_{-\infty}^{\infty} e^{j\omega t} \cdot 2R_{eI}[E[X_1(t) \cdot X_1(t+T)]] dt \end{aligned}$$

表-1 各構造形式の固有振動数\*

形式	次数	1	2	3
形式 1		0.273	1.905	4.418
形式 2		1.606	6.122	10.440
形式 3		0.301	1.721	4.382

\* 水の影響無視

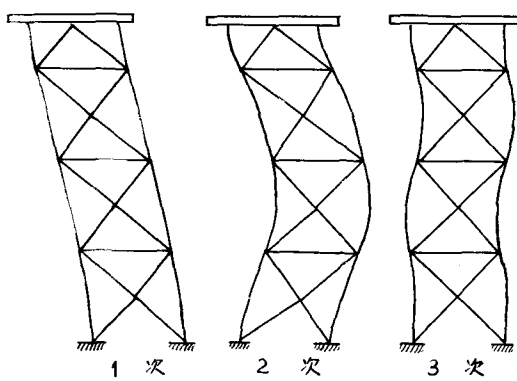


図-3 振動モード(形式2)

ただし

$$S_{X_0 X_0}(\omega) = S_{X_0 X_0}(\omega) - 2\sqrt{\frac{2}{\pi}} \omega R_{X_0}[\bar{C}_D] \operatorname{Im} g[H_{X_0}(\omega)] S_{X_0 X_0}(\omega) \\ + [\bar{C}_D]^2 |H_{X_0}(\omega)|^2 S_{X_0 X_0}(\omega) \quad (9)$$

$\approx 2''$   $S_{X_0 X_0}$  は級数展開することによること<sup>(7)</sup>

$$S_{X_0 X_0}(\omega) = \frac{1}{2\pi} \int_{-\infty}^{\infty} \left[ \frac{8}{\pi} R_{X_0}^2(z) + \frac{4}{3\pi R_{X_0}^2} R_{X_0}^3(z) + \frac{1}{15\pi R_{X_0}^4} R_{X_0}^4(z) + \dots \right] e^{-j\omega z} dz \quad (10)$$

と表わされることがでますので式(10)を式(9)に代入することによって  $S_{X_0 X_0}(\omega)$  を求めることができます。

この近似計算では  $R_{X_0}(z)/\omega$  の  $0$  と  $1$  の範囲内にある時には急速に収束し、 $R_{X_0}(z)/\omega$  の  $1$  の時にあいても式(10)の第2項まで用いれば、誤差は  $1.1\%$  の範囲内にあることが明らかにされています。<sup>(7)</sup> 計算に際しては式(10)の第2項までを用いて行ったが、図-2 に示す構造形式2では第2項目の影響は殆んど無視できることが明らかとなった。

図-4 はマトリックス法による計算を行った用いた構造形式2の分割点を示しています。C<sub>m</sub>, C<sub>d</sub> の値は各々 2.0, 1.4 にとり、各分割点間の減衰係数は一律に 0.1 とした。他の構造形式においては分割点数を 16 点とし、C<sub>m</sub>, C<sub>d</sub> および減衰係数は形式2と同じ値を用いた。各構造形式において水平部材、斜材の数を異なるために、付加質量、抗力が異なり、波力はかたよりもしも一定にはならぬ。

## 6. 計算の結果と考察

図-5 (a), (b), (c) は図-1 に示す波浪が各構造物に作用する時の最大相対変位を生ずる位置での構造物の応答を示しています。各構造形式とも最大の相対変位や生ずる位置は同じでなくとも大きさは波力をうける水際線の位置である。図-5 において実線は非線形減衰項を無視した場合、実線は非線形減衰項を考慮した場合の水粒子の相対変位のスペクトルで、破線は入力として用いた波浪のスペクトルを示しています。構造形式1(図-5 (a) 参照) では構造物水中に設置されて13時の1次の固有振動数は 0.146 Hz である、この振動数で応答が最大となる。固有振動数よりも低い振動数でも波浪に対しては、非線形減衰項は応答を減少させる効果、逆に抗力を減少させる効果をもついるのか、固有振動数を越える振動数とともに波浪に対しては水粒子の変位と構造物変位の位相が反転するため、抗力を増大させる働きをもつてゐることかわかる。また共振振動数(2)は非線形減衰項の影響はいちじるしく増加し、構造物に作用する抗力が最大となる。これが

これに對し構造形式2(図-5 (b) 参照)では比較的の固有振動数が高く、剛性構造物であるため、その応答は波浪のスペクトルに相似し、非線形減衰項の影響も無視できるほど小さいことである。したがって表-1 に示す構造形式2の固有振動数以上の固有振動数でも構造形式1はすく

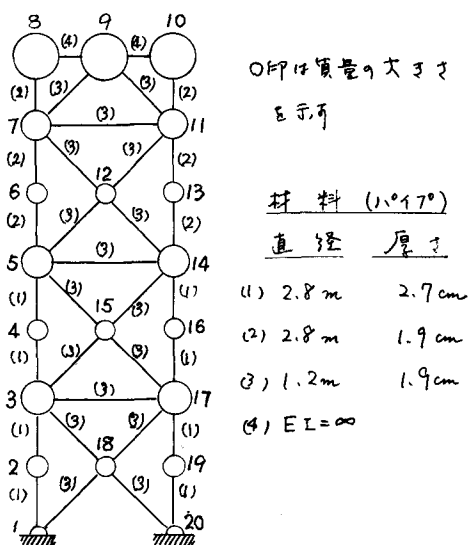


図-4 構造の分割点(形式2)

は、式(5)の非線形項を無視して応答計算を行つて、2十分は精度が得られるものと思われる。構造形式2で他の構造形式の応答とくらべて相対位の応答スペクトルが小さく、水粒子の運動に追従して構造の振動も予想通りであるが、これは水平部材、斜材で他の構造形式より多く用いられたため、付加質量の影響が大きくなつたためと思われる。

構造形式3(図-5(c)参照)についでは構造が水中に設置されて113時の1次の固有振動数は0.167Hzであるが、2の振動数で共振し2.113。構造形式3についでも形式1の場合と同様に非線形減衰項の効果による固有振動数は少しが異なるが、1.13。構造形式3では1次の固有振動数が波浪の卓越周期0.125Hzから離れていたため、応答スペクトルは構造形式1の場合と比較して小さくなつた。

表-2に各構造形式につい水際線の位置における平均振幅、平均速度振幅、平均加速度振幅を平均パワーから求めたものであるが、非線形減衰項に影響を及ぼす平均速度振幅中では構造形式1よりも、とも大きく、質量力に影響を及ぼす平均加速度振幅中では構造形式2よりも、とも大きい。この表とともに各々の構造の水際線の位置にかけた直角拘束柱の抗力、質量力の平均値を求めたものが表-3に示す値である。各構造形式とも拘束柱の効果による質量力の効果にくらべて著しく小さい。質量力については比較的剛性構造である形式2よりも、とも大きい。このことは下用ひる波力が構造形式2の場合にも、とも大きくなることを意味しているものと思われる。さらに(図-5(b)から明らかなように絶対的に浸没量最も大きい。

非線形の減衰効果は式(9)、式(10)からも明らかにようするに波浪の振幅にF<sub>2</sub>も累積は、7

図-5(a) 構造の応答スペクトル  
(形式1)

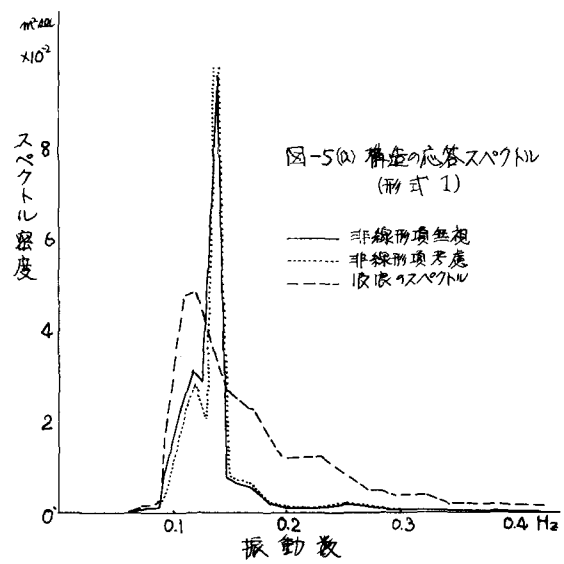


図-5(b) 構造の応答スペクトル  
(形式2)

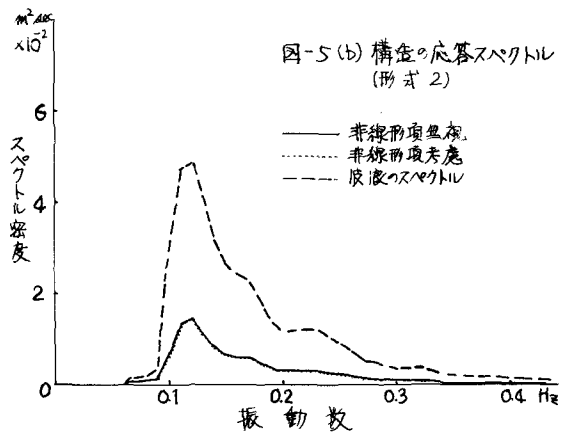
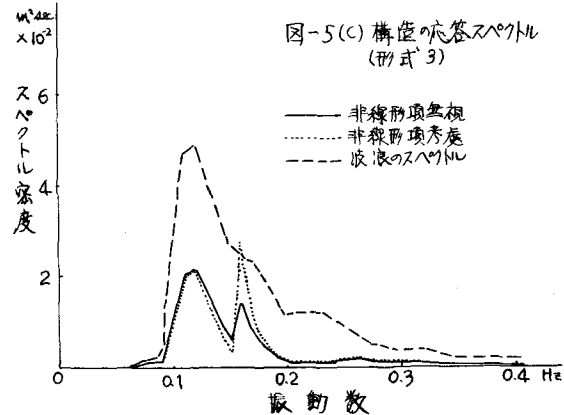


図-5(c) 構造の応答スペクトル  
(形式3)



く。 $\gamma = 7$  の各構造形式に  $\gamma = 117$  図-1 に示す  
波浪のスペクトルを 400 倍の波浪が構造物に作用  
用する時の応答を調べた。図-6 は構造形式 3  
に付ける応答スペクトルを示す。点線で示したフーリエや非線形減衰項の効果を表わすと  
ころか、共振周波数  $0.167 \text{ Hz}$  もともと非減衰  
効果が大きく、その近傍での多く振動数領域で  
は図-5(c) と比較して大きな差は見られない。  
同様の計算を構造形式 2 に  $\gamma = 117$  比較すると、  
波浪の振幅が大きくなるとともに非線形減衰項の効果  
が強くなる結果を得た。したがって構造  
の固有振動数が波浪の卓越周期よりもかなり大  
きい値をもつ構造では非線形減衰項はほとんど無  
視することできり、波力はほとんど付加質量によ  
って生ずるものと考えられる。

図-7 は水深方向の分割点における平均的な相対変位の分布を示す。水平部材、斜材配置  
に  $F_1$  の変位の分布が異なってくことが明らかである。構造形式 2 では水平材、斜材配置が均  
一であるため変位の分布も均一である。適切な斜面力の分布を下から上でも、構造部材の配置の  
方法が重要な因子とも思われる。

## 7. 結論

比較的水深の深い地点に設置された海中構造物では、波力の作用によって構造物に変形が生じた  
ため、構造物に作用する波力はそれが構造物の特性によらず、異なる。  
本研究で、(1)三種類の構  
造モデルを用いて、これら波力と構造物の相互作用について検討した。

比較的固有振動数の高い海中構造物では滑降によって生ずる抵抗力の影響で、付加質量の影響と比較  
して強くなる傾向であるが、付加質量の影響(すなはち固有振動数の低い構造と比較して大きく、したがって作  
用する波力も大きくなること)が明らかとなった。

表-2 平均振巾、平均速度振巾、平均加速度振巾

振巾	形式 1	形式 2	形式 3
平均振巾 $\text{m} \times 10^2$	$7.01$	$4.89 \times 10^2$	$5.23 \times 10^2$
平均速度振巾 $\text{m/s} \times 10^2$	$7.04$	$6.13 \times 10^2$	$5.71 \times 10^2$
平均加速度振巾 $\text{m/s}^2 \times 10^2$	$9.99$	$11.18 \times 10^2$	$9.59 \times 10^2$

表-3 直柱単位長さあたり作用する波力(海面)

波力 形式	形式 1	形式 2	形式 3
波力 $\text{t/m} \times 10^4$	9.91	7.51	6.51
質量力 $\text{t/m} \times 10^2$	12.56	14.05	12.05

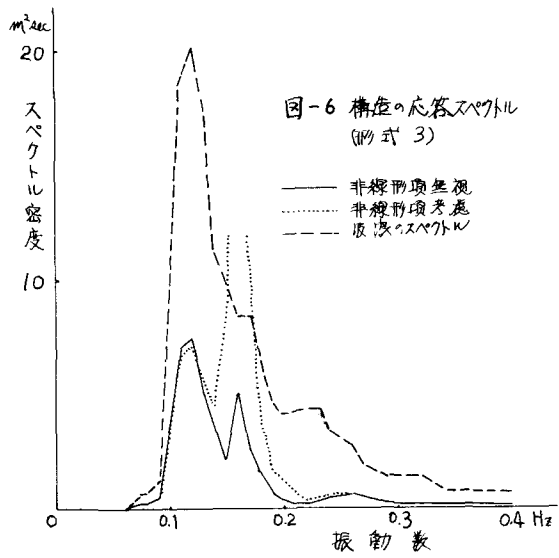


図-6 構造の応答スペクトル  
(形式 3)

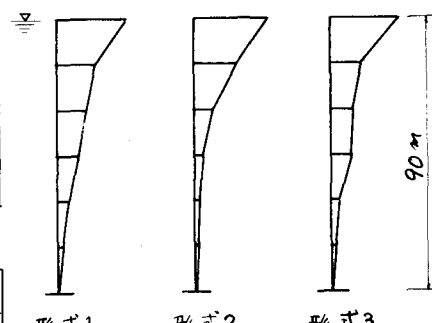


図-7 水深方向の相対変位の分布

これに対し、固有振動数が低い柔軟構造では抗力の影響が大きく、構造物の水中で 1 次の固有振動数が波浪の卓越周期に近い場合には特にこの傾向が著しい。また構造物の 1 次の固有振動数よりも低い振動数をもつた波に対しては、この抗力は水粒子に対する構造物の相対変位を減少させる効果をもつておらず、波の振動数が構造物の 1 次の固有振動数よりも高い場合には相対変位を増加させる効果をもつてゐる。この抗力の影響は波浪の振巾によつて増加する傾向があり、波浪の卓越周期に近い 1 次の固有振動数をもつた構造物は逆に逆に上方へ向かうとするものと思われる。

### 参考文献

1. R. P. Shabinski, E. L. Wilson, and L. G. Selna "Dynamic Response of Deepwater Structures" Civil Engineering in the Ocean I, P123
2. L. Selna, David Cho "Design of Offshore Structures Against Resonance Response" Civil Engineering in the Ocean II, P79
3. 本間仁, 安芸俊一, "船舶水理学" P340
4. Morison, J., O'Brien, M., Johnson, J., and Shaft, S., "The Forces Exerted by Surface Waves on Piles" Petroleum Trans. AIME, Vol. 189, May 1950
5. 今田良実 "構造物に働く波力" 土木学会水理委員会 水工学シリーズ 67-10
6. 碇部 孝輔 '相関函数およびスペクトル' 東京大学出版会
7. L. E. Borgman "Ocean Wave Simulation For Engineering Design" Civil Engineering in the Ocean I, P31
8. L. E. Borgman "Spectral Analysis of Ocean Wave Forces on Piling" Proc. of A.S.C.E. Journal of W.H. Division, May 1967, P129
9. B. L. Edge and P. G. Kuyer "A Dynamic Structure Soil-Water Model for Deep Water" Civil Engineering in the Ocean II, P13
10. 元良誠三 "見掛質量法" 造船講論文集, 第 87 号, P47
11. Przemieniecki, J. "Theory of Matrix Structural Analysis" McGraw-Hill, Inc. New York, 1968
12. Papoulis "Probability, Random Variables and Stochastic Processes" McGraw-Hill Inc. New York, 1965